Earthquake Detection Techniques Using Underwater Fiber Optics: A Systematic Literature Review

Jonathan Joás Zapata Campos¹; Farfán Cuya Amaury Aldo²; Ninaquispe Corales Daniel Alber³; Toledo Ruíz Javier Luis⁴

1,2,3,4 Universidad Tecnológica del Perú, Perú, c24917r@utp.edu.pe, e19711@utp.edu.pe c19986@utp.edu.pe, c25685@utp.edu.pe

Abstract—The Earth's surface is 70% covered by water, yet the coverage of seismometers in oceans remains limited. A cost-effective solution to enhance seismic detection is to leverage the existing submarine fiber optic network, originally deployed for telecommunications. This study conducts a systematic review of seismic detection techniques using fiber optics, analyzing research published since the year 2000. The main objective was to identify the most commonly used techniques and assess their applicability. The Scopus database was consulted, and 24 articles were selected from an initial set of 596 through a systematic process. The PICO framework guided the analysis of primary sources. The results indicate that Distributed Acoustic Sensing (DAS) is the most widely employed technique. Additionally, most studies were found to be concentrated in the Northern Hemisphere. The study concludes that DAS is a promising approach for developing seismic event early warning systems and mitigating their impacts.

Keywords-- DAS, fiber optics, seismic detection, submarine cable.

Técnicas de Detección de Sismos Usando Fibra Óptica Submarina: Una Revisión Sistemática de Literatura

Jonathan Joás Zapata Campos¹©; Farfán Cuya Amaury Aldo²©; Ninaquispe Corales Daniel Alber³©; Toledo Ruíz Javier Luis⁴©

1,2,3,4 Universidad Tecnológica del Perú, Perú, c24917r@utp.edu.pe, e19711@utp.edu.pe c19986@utp.edu.pe, c25685@utp.edu.pe

Resumen- La superficie terrestre está cubierta en un 70% por agua, pero la cobertura de sismómetros en océanos es limitada. Una solución económica para mejorar la detección sísmica es aprovechar la red de fibra óptica submarina, ya desplegada para telecomunicaciones. Este estudio realiza una revisión sistemática de las técnicas de detección sísmica mediante fibra óptica, analizando investigaciones publicadas desde el año 2000. El objetivo principal fue identificar las técnicas más utilizadas y evaluar su aplicabilidad. Se consultó la base de datos Scopus, seleccionando 24 artículos de 596 iniciales tras un proceso sistemático. Las preguntas PICO guiaron el análisis de las fuentes primarias. Los resultados indican que la técnica más empleada es la Detección Acústica Distribuida (DAS). Además, se observó que la mayoría de las investigaciones se concentran en el hemisferio norte. Se concluye que el DAS es prometedor para desarrollar sistemas de prevención de eventos sísmicos y mitigar sus impactos.

Palabras clave—DAS, fibra óptica, detección de sismos, cable submarino.

I. INTRODUCCIÓN

En los últimos años, el número de enlaces de comunicaciones han aumentado exponencialmente debido al crecimiento de Internet y los servicios móviles [1] siendo los cables ópticos submarinos construidos por los operadores de telecomunicaciones la columna vertebral telecomunicaciones internacionales e intercontinentales. Se calcula la existencia de 552 cables ópticos submarinos en todo el mundo con una longitud total de más de 1,4 millones de kilómetros a principios de 2023 [2], que están diseñados para conectar una instalación en tierra con instrumentos de aguas profundas u hacia otra instalación costera. Los cables a menudo cruzan varias características de las profundidades submarinas desde la costa hasta la llanura profunda en el lecho marino [3]. Los tsunamis, definidos como olas oceánicas generadas principalmente por terremotos submarinos, erupciones volcánicas o deslizamientos de tierra, han ocasionado, históricamente, significativas pérdidas humanas y materiales. Este fenómeno representa una de las principales amenazas para las comunidades e infraestructuras costeras. En este contexto, la detección temprana y la emisión oportuna de alertas precisas son cruciales para proporcionar información vital, facilitar la evacuación de zonas vulnerables, activar procedimientos de emergencia y reducir el número de víctimas [4]. La capacidad de detectar corrientes de aguas profundas y cambios en la presión podría permitir la detección directa de tsunamis mientras se propagan a través de las profundidades oceánicas, en lugar de inferir su presencia exclusivamente a partir de datos sísmicos [5]. Esto abre nuevas posibilidades para el monitoreo de terremotos submarinos mediante tecnologías de detección basadas en cables ópticos submarinos. Entre los principios fundamentales de las técnicas de detección sísmica empleando sismómetros ópticos basados en cables submarinos se incluyen: interferómetros ópticos, rejillas de fibra de Bragg (FBG), polarímetros ópticos y sistemas de detección acústica distribuida (DAS). Los interferómetros ópticos y las rejillas de fibra de Bragg (FBG) utilizan principalmente los cables submarinos para la transmisión de datos, mientras que los polarímetros ópticos y los sistemas DAS emplean estos cables como sensores para captar información del entorno [2]. En los últimos años, se han explorado enfoques innovadores para mejorar las capacidades de alerta temprana de tsunamis. Una tecnología prometedora que ha despertado creciente interés es la detección acústica distribuida (DAS) en cables submarinos de fibra óptica [4]. técnica convierte los cables de fibra Esta de telecomunicaciones convencionales en redes de sensores de tensión de alta resolución [3], [6 - 7]. Su implementación ha demostrado ser efectiva en diversos entornos, tanto terrestres como submarinos, utilizando la infraestructura de fibra óptica ya existente. Además, se han aplicado algoritmos de aprendizaje desde el enfoque de deep learning para detectar y localizar eventos microsísmicos, al tiempo que se estima simultáneamente el modelo de velocidad a partir de datos adquiridos mediante sistemas DAS [8]. Asimismo, se han implementado algoritmos basados en aprendizaje automático y redes neuronales convolucionales para la detección automática de terremotos [9]. En paralelo, el desarrollo de la tecnología DAS ha avanzado con la introducción de nuevos sistemas, como un DAS basado en Reflectómetro Óptico en el Dominio del Tiempo (OTDR) sensible por fase (φ) [10]. Los autores se sienten motivados a investigar este tema debido a la urgente necesidad de abordar el peligro que representan los

terremotos, tsunamis y otros fenómenos sísmicos para la seguridad de las personas y las infraestructuras. El objetivo de este estudio es comparar y evaluar las diversas técnicas existentes, así como analizar la viabilidad de su implementación en entornos sísmicos, considerando también el desarrollo reciente de métodos innovadores. En este contexto, realizar una revisión sistemática de la literatura (RSL) sobre las técnicas de detección de sismos utilizando fibra óptica submarina como herramienta preventiva es fundamental para ampliar nuestra comprensión de este campo crítico. Esto permitirá desarrollar estrategias efectivas para mitigar los riesgos asociados con terremotos y tsunamis, identificar y validar investigaciones existentes, abordar vacíos de conocimiento y sentar una base sólida para futuras investigaciones y políticas de prevención de desastres.

II. METODOLOGÍA

La referencia [11] señala que una revisión sistemática de literatura (SLR) es un procedimiento para identificar, evaluar e interpretar toda la investigación disponible relevante para un área temática o una pregunta de investigación determinada. Esta exploración se realiza siguiendo las pautas PRISMA [12] y se aplica las recomendaciones de la referencia [11].

A. Preguntas de investigación

Para alcanzar el propósito de este trabajo de investigación, fueron formuladas un total de 9 preguntas de indagación (RQ: Research Question) siguiendo el marco PICO por sus siglas en inglés, implementado una revisión exhaustiva del asunto abordado [13]. La pregunta de investigación general propuesta fue la siguiente: ¿Cuáles son las técnicas de detección de sismos mediante el uso de cable de fibra óptica submarino? De la cual se desprende el acrónimo PICO de la siguiente manera: el problema (P) planteado son los posibles terremotos los tsunamis que desencadenarse; la Intervención (I) está relacionada con los métodos/técnicas para predecir dichos terremotos mediante sensores instalados en cables submarino; la Comparación (C) no es aplicable ya que nuestro estudio se enfoca en el uso de sensores para la detección de terremotos mediante cables submarinos; finalmente, los Resultados (O) se refiere a la capacidad de detectar un evento sísmico como un modo de alerta temprana. Las preguntas planteadas (RQ's) fueron:

- 1) RQ1: ¿Qué tipo de evento sísmico se aborda en estos estudios?
- 2) RQ2: ¿Cuál es la descripción del problema específico en cada estudio?
- 3) RQ3: ¿Cuáles son las técnicas y objetivos usados en los estudios?
- 4) RQ4: ¿Cuáles fueron las variables físicas más utilizadas en los estudios?
- 5) RQ5: ¿Cuáles fueron los equipos de medición que se utilizaron en cada artículo?
- 6) RQ6: ¿Cuál fue la ubicación geográfica de los cables de fibra óptica en cada estudio?

- 7) RQ7: ¿Cuáles fueron los resultados del uso de cada técnica?
- 8) RQ8: ¿Qué beneficios a futuro tuvo cada técnica aplicada?
- 9) RQ9: ¿Qué limitaciones presenta cada técnica aplicada?

Considerando que por evento sísmico se refiere a un fenómeno natural que se produce debido a la liberación de energía en la corteza terrestre, generando ondas sísmicas y como, una posible consecuencia, el desencadenamiento de un tsunami [1-2]. Además, el método de detección se refiere a las técnicas y tecnologías utilizadas para identificar, registrar y analizar la ocurrencia del evento sísmico. Finalmente, el nivel de eficacia del método se refiere a la capacidad del método para cumplir con sus objetivos de manera precisa, confiable y oportuna en la identificación y registro de la actividad sísmica.

B. Estrategia de búsqueda

Se realizó una búsqueda de literatura publicada en revistas revisadas por pares en febrero de 2024 para encontrar artículos relacionados con la detección de eventos sísmicos mediante sensores en cables submarinos. El proceso de indagación se llevó a cabo utilizando palabras clave afines al tema planteado y combinadas mediante los operadores booleanos. La ecuación de búsqueda planteada fue: (seism* OR earthquake OR tsunami tsunami) AND (das OR "undersea internet cable" OR "distributed acoustic sensing" OR "optical fibre") AND (detect* OR "Early alert"). Luego, los siguientes criterios de inclusión/exclusión fueron aplicados:

- (CE 1) Estudios publicados después del 2000.
- (CE 2) Estudios publicados en idioma inglés y chino.
- (CI 1) Estudios que abordan la detección de terremotos y/o tsunamis.
- (CI 2) Estudios que aplican la detección de terremotos mediante el uso de cables submarinos.
- (CI 3) Estudios que detectan terremotos en el mar.

Para llevar a cabo la búsqueda, se seleccionó una base de datos en línea vinculados a los campos científicos relevantes tanto para eventos sísmicos como la detección de estos con el fin de obtener estudios primarios para esta revisión. La base de datos empleada fue SCOPUS y el flujo de información a lo largo de las diferentes etapas del proceso de revisión y selección de los artículos se representa en el diagrama PRISMA (por sus siglas en inglés) de la Fig. 1. El artículo explora el uso innovador de la fibra óptica submarina como detector de sismos. Para esta investigación, se seleccionó la base de datos Scopus debido a su amplia cobertura en ingeniería, tecnología y ciencias aplicadas, áreas clave para el estudio. Scopus también ofrece acceso a literatura gris, como actas de congresos, donde suelen presentarse avances en tecnología sísmica marina. Además, sus herramientas analíticas avanzadas, como el análisis de citaciones, permiten identificar publicaciones influyentes, enriqueciendo la revisión sistemática.

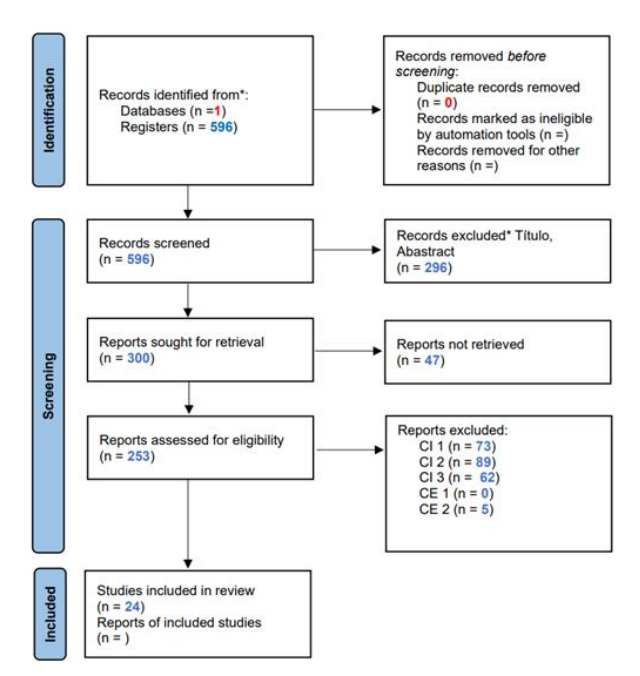


Fig. 1 Proceso de selección (diagrama de flujo PRISMA).

C. Evaluación de calidad

El criterio descrito en la ref. [14], fue adoptado debido a la claridad en el uso de parámetros para establecer valores que cuantifican cada artículo durante el cribado de las fuentes primarias. Para llevar a cabo una revisión exhaustiva del tema, se formularon siete (07) preguntas de investigación (PI) siguiendo el marco PICO, tal como se detalla en la referencia [14]. En este contexto, la Población (P) incluye estudios relacionados con sismos; la Intervención (I) abarca el uso del método DAS (Distributed Acoustic Sensing) para la alerta temprana de sismos; la Comparación (C) evalúa el método DAS en contraste con los métodos clásicos basados en geófonos; y los Resultados (O) se centran en los principales hallazgos obtenidos. Estas preguntas de investigación (RQ) constituyen la base del objetivo del estudio, como se muestra en la Tabla I.

TABLA I CRITERIOS DE EVALUACIÓN DE CALIDAD

	CKITERIOS DE L	VALUACION DE CALIDAD
N°	Evaluación de Calidad	Peso (binario) según métrica Si (+1),
	de pregunta	No(+0) y Valor según nivel Q1, Q2, Q3 y
		Q4.
1	Se presenta un evento sísmico	Si (+1), No(+0)
2	¿Está el artículo publicado en una	Clasificación Q1(+2), Clasificación
	fuente reconocida? Q1, Q2, Q3 y	Q2(+1.5), Clasificación Q3 o Q4 (+1)
	Q4	
3	Se utiliza técnica DAS para la	Si (+1), No(+0)
	descripción del evento sísmico	
4	Se menciona el equipo de medición	Si (+1), No(+0)
	usado	
5	Se describe la ubicación del cable	Si (+1), No(+0)
	de fibra óptica	
6	Se describe el beneficio a futuro de	Si (+1), No(+0)
	cada técnica aplicada	
7	Presenta limitaciones el estudio de	Si (+1), No(+0)

la técnica usada

D. Extracción de datos

El proceso de extracción de datos tuvo como objetivo identificar información relevante de los estudios primarios en profundidad y responder a las preguntas planteadas en la revisión sistemática de la literatura (RSL). Este proceso estuvo respaldado por las preguntas de investigación (RQ) y el esquema de extracción de datos definidos en la Tabla II, donde también se presentan los resultados. De las publicaciones filtradas, el puntaje máximo obtenido fue de 8 puntos, alcanzado por 5 artículos. Otros 8 artículos lograron una puntuación de 7 puntos, 1 artículo obtuvo 7.5 puntos, 6 artículos alcanzaron 6 puntos, mientras que 1 artículo obtuvo 5.5 puntos y otros 5 puntos. En total, el 75% de las publicaciones seleccionadas se ubicó en el primer cuartil, con una puntuación promedio de 6 puntos (75%), lo que refleja un desempeño sólido en la calidad y relevancia de las publicaciones seleccionadas para esta revisión sistemática.

> TABLA II EVENTO SÍSMICO Y MÉTODOS DE LOS ESTUDIOS SELECCIONADOS

Autores	Evento	O Y MÉTODOS DE LOS EST Técnica	Sitio web	QAS
Autores	Sísmico	Tecinea	Sitio web	QAS
Xiao et		Detección acústica	Geophysical	7
al(2024)	_	distribuida bajo el agua	Research Letters	
	P	(DAS)		
	tsunami			
	asociadas con			
	terremotos.			
Mata Flores		Detección acústica	Geophysical	6
et al.		distribuida (DAS)	Journal	
(2023)	debido a		International	
	terremotos			
Yu et al.		Interferómetros ópticos,	Sensors	7
(2023)	sísmico	Red de fibra de Bragg		
		(FBG), Polarímetro		
		óptico y Detección		
		acústica distribuida		
		(DAS).		
	Terremotos	Detección acústica	Scientific	7
al. (2022)		distribuida (DAS)	Reports	
Nakano et	Terremotos	Detección acústica	Earth, Planets	8
al.(2024)		distribuida (DAS)	and Space	
Ugalde et	Terremotos	Detección acústica	Seismological	7
al. (2022)		distribuida (DAS)	Research Letters	
Ip et al.	Terremotos	DFOS basado en la	Proceedings of	7
(2022)		medición en el dominio	the IEEE	
		del tiempo de la		
		retrodispersión de		
		Rayleigh		
Marra et	Terremotos y	Interferometría óptica	Science	8
al.(2022)	Tsunamis			
		Detección acústica	Proceedings of	6
al.(2022)	sísmico activo	distribuida (DAS)	SPIE - The	
	(matriz DAS		International	
	vertical)		Society for	
			Optical	
			Engineering	
Bao et		Detección acústica	Kexue	7.5
al.(2022)	devastador 6.9	distribuida (DAS) y uso	Tongbao/Chinese	
		de redes neuronales	Science Bulletin	

Lindsey & Martin (2022) Microsismos (2019) Microsismos, al. (2018) Microsismos, al. (2019) Mic	T: 1 0	ı	OTEN A . C	. 1D '	
Wamriew Monitoreo et al.(2012) Monitoreo et al.(2012) Moritorsismico de fondo de pozo Microsismos, et al.(2019) Sismos de mediana intensidad y grandes erremotos Microsismos, et al.(2019) Microsismos, et al.(2019) Microsismos, et al.(2019) Microsismos de mediana intensidad y grandes erremotos Microsismos, et al.(2019) Microsismos, et erremotos	Lindsey &	†	OTDR (Interferometría	Annual Review	6
Sciences			optica)		
Wamriew et al.(2012) microsismico de tal.(2019) microsismico de tal.(2019) microsismos, et al.(2019) microsismos, et al. sismos de mediana intensidad y grandes terremotos Pernández: Microsismos, et al. sismos de mediana intensidad y grandes terremotos Detección acústica distribuida (DAS) Science 8	(2022)				
et al.(2012) micros/smico de fondo de pozo Bernard P Microsismos, et al.(2019) sismos de mediana intensidad y grandes terremotos Marra et Microsismos, al. (2019) sismos de mediana intensidad y grandes terremotos Fernández Microsismos, al. (2019) mediana intensidad y grandes terremotos Dousset et Microsismos, al. sismos de (2019) mediana intensidad y grandes terremotos Jousset et Microsismos, al. sismos de (2018) mediana intensidad y grandes terremotos Clivati et Microsismos, al. sismos de (2018) mediana intensidad y grandes terremotos Clivati et Microsismos, al. sismos de (2019) mediana intensidad y grandes terremotos Clivati et Microsismos, al. sismos de (2019) mediana intensidad y grandes terremotos Clivati et Microsismos, al. sismos de (2019) mediana intensidad y grandes terremotos Clivati et Microsismos, al. sismos de (2019) mediana intensidad y grandes terremotos Clivati et Microsismos, al. sismos de (2019) mediana intensidad y grandes terremotos Clivati et Microsismos, al. sismos de (2019) mediana intensidad y grandes terremotos Clivati et Microsismos, al. sismos de (2019) mediana intensidad y grandes terremotos Clivati et Microsismos, al. sismos de (2019) mediana intensidad y grandes terremotos Clivati et Microsismos, al. sismos de (2019) mediana intensidad y grandes terremotos Clivati et Microsismos, al. sismos de (2019) mediana intensidad y grandes terremotos Clivati et Microsismos, al. sismos de (2013) mediana intensidad y grandes terremotos Clivati et Microsismos, al. sismos de (2013) mediana intensidad y grandes terremotos Clivati et Microsismos, al. sismos de (2013) mediana intensidad y grandes terremotos Clivati et Microsismos, al. sismos de (2013) mediana intensidad y grandes terremotos Rejilla de fibra de Bragg (FBG) proceedings of SPIE - The International Society for Optical Engineering Duckworth (1) petección acústica el proceedings of SPIE - The International Society for Optical Engineering Método OBC (Ocean Botto Optical Engineering el proceedings of SPIE - The Interna					
Bernard P Microsismos, et al.(2019) sismos de mediana intensidad y grandes terremotos Detección acústica distribuída (DAS) Research Letters				Sensors	6
Bermard P Microsismos, et al.(2019) sismos de mediana intensidad y grandes terremotos Zhan Ondas (2019) sismos de mediana intensidad y grandes terremotos Fernández- Microsismos, al. (2019) microsismos de (2019) microsismos de (2019) microsismos, al. sismos de (2019) mediana intensidad y grandes terremotos Fernández- Microsismos, Detección acústica distribuida (DAS) de pulso chirriado (CP- international sismos de (2018) mediana intensidad y grandes terremotos Fernández- Microsismos, al. sismos de (2018) mediana intensidad y grandes terremotos Fernández- Microsismos, al. sismos de (2019) mediana intensidad y grandes terremotos Fernández- Microsismos, al. sismos de (2019) mediana intensidad y grandes terremotos Clivati et Microsismos, al. sismos de (2019) mediana intensidad y grandes terremotos Clivati et Microsismos, al. sismos de (2019) mediana intensidad y grandes terremotos Clivati et Microsismos, al. sismos de (2019) mediana intensidad y grandes terremotos Clivati et Microsismos, al. sismos de (2019) mediana intensidad y grandes terremotos Clivati et Microsismos, al. sismos de (2019) mediana intensidad y grandes terremotos Clivati et Microsismos, al. sismos de (2019) mediana intensidad y grandes terremotos Clivati et Microsismos, al. sismos de (2019) mediana intensidad y grandes terremotos Duckworth (1) et al. Vibraciones (FBG) Duckworth (1) petección acústica et al. (2013) Perturbaciones acústicas (3) Movimientos sísmicas, (2) Perturbaciones acústicas (3) Movimientos sísmicas (4) Proceedings (5) EISIC 2013 acusticas (6) Microsimos (6) Microsi	et al.(2022)		proceso de la data		
Bernard P Microsismos de tal.(2019) sismos de tal.(2019) sismos de tal.(2019) sismos de mediana intensidad y grandes terremotos Detección acústica distribuida (DAS) Research Letters Research Le					
et al.(2019) sismos de mediana intensidad y grandes erremotos Zhan Ondas (2019) sísmicas de interferometría FP) interferometría ESP (interferometría ESP) sísmicas de intensidad y grandes terremotos distribuida (DAS) de pulso chirriado (CP- grandes terremotos de pulso chirriad					
mediana intensidad y grandes terremotos Zhan Ondas (2019) sismicas distribuida (DAS) Research Letters Microsismos, Interferometría láser ultra estable con cables opticos mediana intensidad y grandes terremotos Fernández-Ruiz et al. (2019) mediana intensidad y grandes terremotos Jousset et dissimos de (2018) mediana intensidad y grandes terremotos Jousset et dissimos de (2018) mediana intensidad y grandes terremotos Clivati et al. sismos de (2019) mediana intensidad y grandes terremotos Clivati et al. sismos de (2019) mediana intensidad y grandes terremotos Clivati et al. sismos de (2019) mediana intensidad y grandes terremotos Clivati et al. sismos de (2019) mediana intensidad y grandes terremotos Clivati et al. sismos de (2019) mediana intensidad y grandes (2019) mediana intensidad y grandes terremotos Clivati et al. sismos de (2019) mediana intensidad y grandes (2019) mediana intensidad y grandes terremotos Clivati et al. sismos de (2019) mediana intensidad y grandes (2019)					7
Intensidad y grandes terremotos Detección acústica distribuída (DAS) Research Letters Research Lette	et al.(2019)			Research Letters	
Zhan Ondas (2019) Detección acústica (3019) Sismicas Detección acústica (3019) Sismos de mediana intensidad y grandes terremotos Detección acústica (3019)			(interferometría FP)		
Zhan (2019) Sémicas distribuida (DAS) Research Letters					
Zhan (2019) All (2019) A		_			
Marra et al. (2019) Sismicas Microsismos, al. (2019) Sismos de mediana intensidad y grandes (2019) Microsismos, al. (2018) Microsismos, al. (2019) Microsismos,		terremotos			
Marra et al. (2019) Microsismos, intensidad y grandes (2018) Microsismos, intensidad y grandes (2019) Microsismos, intensidad y grandes (2013) Microsismos, interferometría láser (2013) Microsism	Zhan	Ondas	Detección acústica	Seismological	8
al. (2019) sismos de mediana intensidad y grandes terremotos Fernández-Microsismos, Ruiz et al. sismos de (2019) miensidad y grandes terremotos Jousset et al. (2018) mediana intensidad y grandes terremotos Jousset et al. (2018) mediana intensidad y grandes terremotos Clivati et al. (2019) mediana intensidad y grandes terremotos Clivati et al. (2019) mediana intensidad y grandes terremotos Clivati et al. (2019) mediana intensidad y grandes terremotos Clivati et al. (2019) mediana intensidad y grandes terremotos Clivati et al. (2019) mediana intensidad y grandes terremotos Clivati et al. (2019) mediana intensidad y grandes terremotos Clivati et al. (2019) mediana intensidad y grandes terremotos Clivati et al. (2019) mediana intensidad y grandes terremotos Clivati et al. (2019) mediana intensidad y grandes terremotos Clivati et al. (2019) mediana intensidad y grandes terremotos Clivati et al. (2019) mediana intensidad y grandes terremotos Clivati et al. (2019) mediana intensidad y grandes terremotos Clivati et al. (2019) mediana intensidad y grandes terremotos Conference of the IEEE International Frequency Control Symposium and European Frequency and Time Forum, Proceedings (2013) Perturbaciones (FBG) Duckworth (1) Detección acústica et al. (2013) Perturbaciones acústicas. (3) Movimientos sísmicas. (2) Perturbaciones acústicas (3) Movimientos sísmicas (2) Perturbaciones acústicas (3) Movimientos sísmicos y acústicos Wang et Fuentes al. (2015) acústicas Nakstad & (1) Señales Kringlebotos Sísmicas Proceedings of SPIE - The International Society for Optical Engineering Método OBC (Ocean Bottom Cable) SPIE - The International Society for Optical Engineering				Research Letters	
mediana intensidad y grandes terremotos Fermández-Microsismos, Buiz et al. (2019) Jousset et al. (2018) Microsismos, betección acústica distribuida (DAS) Journal et al. (2019) Microsismos, betección acústica distribuida (DAS) Journal et al. (2019) Journal et al. (2019) Jiang et al. (2013) Wibraciones (FBG) Jouckworth (1) Duckworth (1) et al.(2013) Perturbaciones acústicas. (3) Movimientos sísmicas. (2) Perturbaciones acústicas (3) Movimientos sísmicos y acústicos Wang et Fuentes al.(2015) Rakstad & (1) Señales Kringlebotts Sísmicas (2008 Versión de la Onda Directa Método OBC (Ocean Brogeering) Método OBC (Ocean Brogeering) Método OBC (Ocean Brogeering) Proceedings of 7 Nature Communications Nature Communications IFCS/EFTF 2019 - Joint Conference of the IEEE International Frequency Control Symposium and European Frequency and Time Forum, Proceedings of SPIE - The International Society for Optical Engineering Duckworth (1) Duckworth (1) Detección acústica Rottor CP- Optical Engineering Proceedings of SPIE - The International Society for Optical Engineering Alignment of the International Society for Optical Engineering Alignment of the International Society for Optical Engineering	Marra et	Microsismos,	Interferometría láser	Science	8
intensidad y grandes terremotos Fermández- Microsismos, distribuida (DAS) de pulso chirriado (CP- optical Engineering Jousset et Microsismos, sismos de mediana intensidad y grandes terremotos Clivati et al. (2018) Clivati et al. (2019) Intensidad y grandes terremotos Clivati et al. (2019) Interferometría láser ultra estable con cables ópticos for conference of the IEEE International Frequency Control Symposium and European Frequency and Time Forum, Proceedings Intensidad y grandes terremotos Clivati et al. (2013) Interferometría láser ultra estable con cables ópticos for Conference of the IEEE International Frequency and Time Forum, Proceedings of SPIE - The International Society for Optical Engineering Duckworth (1) Et al. (2013) Perturbaciones acústicas (2) Perturbaciones acústicas (3) Movimientos sísmicos y acústicos Wang et Fuentes al. (2015) acústicas Nakstad & (1) Señales Kringleboth Sísmicas (2008) Generadas por Airguns (2) Presión de la Onda Directa Método OBC (Ocean Engineering International Society for Optical Engineering International International Engineering International International Engineering International International International International International International International	al.(2019)	sismos de	ultra estable con cables		
Fernández-Microsismos, Ruiz et al. (2019) (a) (b) (c) (mediana	ópticos		
Fernández-Microsismos, Ruiz et al. (2019) international intensidad y grandes terremotos Jousset et al. (2018) mediana intensidad y grandes terremotos Clivati et (2019) intensidad y grandes terremotos Clivati et al. (2019) intensidad y grandes (2019) intensidad y grandes terremotos Clivati et al. (2019) intensidad y grandes (2010) intensida		intensidad y			
Fernández- Microsismos, Ruiz et al. sismos de mediana intensidad y grandes terremotos Detección acústica distribuida (DAS) de pulso chirriado (CP- intensidad y grandes terremotos Detección acústica distribuida (DAS) Society for Optical Engineering Nature Society for Optical Engineering Society for Opt		grandes			
Ruiz et al. sismos de (2019) mediana intensidad y grandes terremotos Douscate et al. (2018) mediana intensidad y grandes terremotos Detección acústica distribuida (DAS) Detección acústica distribuida (DAS) Nature Society for Optical Engineering Society for		terremotos			
Ruiz et al. (2019) mediana intensidad y grandes terremotos Discription Microsismos, al. (2018) mediana intensidad y grandes terremotos Discription Microsismos, al. (2018) mediana intensidad y grandes terremotos Discription Microsismos, al. (2019) mediana intensidad y grandes terremotos Discription Microsismos, al. (2019) mediana intensidad y grandes terremotos Discription	Fernández-	Microsismos,	Detección acústica	Proceedings of	7
intensidad y grandes terremotos Jousset et Microsismos, al. sismos de (2018) mediana intensidad y grandes terremotos Clivati et Microsismos, al. sismos de (2019) mediana intensidad y grandes terremotos Clivati et Microsismos, al. sismos de (2019) mediana intensidad y grandes terremotos Clivati et mediana intensidad y grandes terremotos Clivati et Microsismos, al. sismos de (2019) mediana intensidad y grandes terremotos Clivati et Microsismos, al. sismos de (2019) mediana intensidad y grandes terremotos Clivati et Microsismos, al. sismos de (2019) mediana intensidad y grandes terremotos Conference of the IEEE International Frequency Control Symposium and European Frequency and Time Forum, Proceedings Firequency and Time Forum, Proceedings of SPIE - The International Society for Optical Engineering Duckworth (1) Detección acústica et al. (2013) Perturbaciones distribuida (DAS) sismicas. (2) Perturbaciones acústicas. (3) Movimientos sísmicos y acústicos Wang et Fuentes al. (2015) acústicas Wang et Fuentes al. (2015) acústicas Wang et Fuentes Al. (2015) acústicas (2008 Generadas por Airguns (2) Presión de la Onda Directa Microsismos de distribuida (DAS) Society for Optical Engineering Forceedings - 2013 European Intelligence and Security Informatics Communications 5 SPIE - The International Society for Optical Engineering Forceedings - 5 SECURITY Informatics Communications 6 SPIE - The International Society for Optical Engineering	Ruiz et al.	sismos de	distribuida (DAS) de		
Jousset et al. Sismos de mediana intensidad y grandes terremotos Sismos de mediana intensidad y grandes terremotos Interferometría láser ultra estable con cables opticos Interferometría forta la	(2019)	mediana	pulso chirriado (CP-	International	
Jousset et al. (2018) Detección acústica distribuida (DAS) Simos de mediana intensidad y grandes terremotos Interferometría láser al. (2019) Microsismos, al. sismos de (2019) Microsismos, al. sismos de (2019) Microsismos, al. sismos de (2019) Microsismos de (2013) Microsismos (201		intensidad y	φOTDR)	Society for	
Jousset et al. (2018) Detección acústica distribuida (DAS) Simos de mediana intensidad y grandes terremotos Interferometría láser al. (2019) Microsismos, al. sismos de (2019) Microsismos, al. sismos de (2019) Microsismos, al. sismos de (2019) Microsismos de (2013) Microsismos (201		grandes		Optical	
Jousset et al. (2018) Sismos de mediana intensidad y grandes terremotos Interferometría láser al. sismos de (2019) Microsismos, al. sismos de (2019) Microsismos de (2013) Microsismos de		_			
al. (2018) sismos de mediana intensidad y grandes terremotos Clivati et al. (2019) mediana intensidad y grandes terremotos Clivati et al. (2019) mediana intensidad y grandes terremotos Clivati et al. (2019) mediana intensidad y grandes terremotos Frequency control symposium and European Frequency and Time Forum, Proceedings of SPIE - The International Society for Optical Engineering Duckworth (1) Detección acústica et al. (2013) Perturbaciones acústicas. (2) Perturbaciones acústicas. (3) Movimientos sísmicos y acústicos Wang et al. (2015) acústicas Wang et al. (2015) acústicas Nakstad & (1) Señales Kringlebotn Sísmicas (2) Presión de la Onda Directa Método OBC (Ocean Bottom Cable) Proceedings of SPIE - The International Society for Optical Engineering 5.5 Communications 6 SPIE - The International Society for Optical Engineering Proceedings of SPIE - The International Society for Optical Engineering Doptical Engineering	Jousset et		Detección acústica		8
Colivati et al. (2019) mediana intensidad y grandes terremotos Interferometría láser ultra estable con cables (2019) mediana intensidad y grandes terremotos Opticos Opticos Optical Engineering		· · · · · · · · · · · · · · · · · · ·		Communications	-
intensidad y grandes terremotos Clivati et al. Sismos de mediana intensidad y grandes terremotos (2019)			(= 1 - 2)		
Clivati et al. (2019) Microsismos, interferometría láser al. (2019) mediana intensidad y grandes terremotos Microsismos, intensidad y grandes	, ,				
Clivati et al. Microsismos, sismos de mediana intensidad y grandes terremotos Jiang et al. (2013) Duckworth (1) et al.(2013) Duckworth (1) et al.(2013) Perturbaciones sismicas. (2) Perturbaciones acústicas. (3) Movimientos sismicos y acústicos Wang et al.(2015) Wang et al		-			
Clivati et al. sismos de (2019) mediana intensidad y grandes terremotos Jiang et al. (2013) Duckworth (1) et al.(2013) Perturbaciones acústicas. (2) Perturbaciones acústicas. (3) Movimientos sísmicos y acústicos Wang et al. (2015) Wang et al. (2015) Akstad & (1) Señales Kringleboth Sísmicas (2008 Generadas por Airguns (22) Presión de la Onda Directa Interferometría láser ultra estable con cables ópticos Interferometría láser ultra estable con cables ópticos Interferometría láser ultra estable con cables of the IEEE International Frequency Control Symposium and European Frequency and Time Forum, Proceedings of SPIE - The International Society for Optical Engineering Duckworth (1) Detección acústica Proceedings - 2013 European Intelligence and Security Informatics Conference, EISIC 2013 acústicas Método OBC (Ocean Bottom Cable) Método OBC (Ocean Brocedings of SPIE - The International Society for Optical Engineering					
al. (2019) mediana intensidad y grandes terremotos verremotos ver	Clivati et		Interferometría láser	IECS/EETE 2019	7
Conference of the IEEE International Frequency Control Symposium and European Frequency and Time Forum, Proceedings		· · · · · · · · · · · · · · · · · · ·			,
intensidad y grandes terremotos International Frequency Control Symposium and European Frequency and Time Forum, Proceedings Jiang et al. (2013) Jiang et al. Vibraciones (FBG) Proceedings Rejilla de fibra de Bragg (FBG) Proceedings of SPIE - The International Society for Optical Engineering Duckworth (1) et al.(2013) Perturbaciones distribuida (DAS) sísmicas. (2) Perturbaciones acústicas. (3) Movimientos sísmicos y acústicos Wang et al.(2015) Puentes Interferometría φ-OTDR Optics (Company acústicos) Wang et al.(2015) Señales Kringlebotn Sísmicas (2008 Generadas por Airguns (2) Presión de la Onda Directa The IEEE International Frequency Control Symposium and European Frequency and Time Forum, Proceedings of SPIE - The International Society for Optical Engineering					
grandes terremotos International Frequency Control Symposium and European Frequency and Time Forum, Proceedings Jiang et al. Vibraciones (2013) Rejilla de fibra de Bragg (FBG) Proceedings of SPIE - The International Society for Optical Engineering Proceedings - 2013 European Intelligence and Security Informatics Conference, EISIC 2013 Wang et Fuentes al.(2015) Nakstad & (1) Señales Kringlebotn Sísmicas (2008 Generadas por Airguns (2) Presión de la Onda Directa International Frequency Control Symposium and European Frequency and Time Forum, Proceedings of SPIE - The International Society for Optical Communications 6 Spie -	(201))		opticos		
terremotos Frequency Control Symposium and European Frequency and Time Forum, Proceedings					
Control Symposium and European Frequency and Time Forum, Proceedings		_			
Symposium and European Frequency and Time Forum, Proceedings Jiang et al. Vibraciones (2013) Rejilla de fibra de Bragg (FBG) Proceedings of SPIE - The International Society for Optical Engineering Duckworth (1) Detección acústica Proceedings - 2013 European Intelligence and Security Informatics Conference, EISIC 2013 acústicos Wang et Fuentes al.(2015) Brentes al.(2015) acústicas Nakstad & (1) Señales Kringlebottn Sísmicas (2) Presión de la Onda Directa Symposium and European Frequency and Time Forum, Proceedings of SPIE - The International Society for Optical Engineering		terremotos			
European Frequency and Time Forum, Proceedings					
Frequency and Time Forum, Proceedings					
Time Forum, Proceedings					
Jiang et al. Vibraciones (2013) Froceedings					
Jiang et al. (2013) Vibraciones (FBG) Rejilla de fibra de Bragg (FBG) Proceedings of SPIE - The International Society for Optical Engineering				,	
(2013) (FBG) SPIE - The International Society for Optical Engineering Duckworth (1) et al.(2013) Perturbaciones distribuida (DAS) sísmicas. (2) Perturbaciones acústicas (3) Movimientos sísmicos y acústicos Wang et al.(2015) acústicas Nakstad & (1) Señales Kringlebotn Sísmicas (2) Presión de la Onda Directa (2008) SPIE - The International Society for Optical Engineering Proceedings - 6 2013 European Intelligence and Security Informatics Conference, EISIC 2013 acústicos Communications SPIE - The International Society for Optical Engineering	liang at al	Vibracionas	Dajilla da fibra da Draza		5
International Society for Optical Engineering		v ibraciones			3
Society for Optical Engineering	(2013)		(טע ז		
Duckworth (1) Detección acústica Proceedings - 2013 European Intelligence and Security Informatics Conference, EISIC 2013 Acústicas Proteedings - 2013 European Intelligence and Security Informatics Conference, EISIC 2013 Acústicos Interferometría φ-OTDR Optics Communications Nakstad & (1) Señales Kringlebotn Sísmicas (2) Presión de la Onda Directa Engineering					
Duckworth (1) Detección acústica Proceedings - 2013 European Intelligence and Security Informatics Conference, EISIC 2013 acústicas Wang et al.(2015) Penentes acústicas Interferometría φ-OTDR Optics acústicas Nakstad & (1) Señales Kringlebotn Sísmicas Bottom Cable) (2008 Generadas por Airguns (2) Presión de la Onda Directa Engineering Proceedings - 2013 European Intelligence and Security Informatics Conference, EISIC 2013 acústicos Optics Communications 5.5 SPIE - The International Society for Optical Engineering					
Duckworth (1) et al.(2013) Perturbaciones sísmicas. (2) Perturbaciones acústicas. (3) Movimientos sísmicos y acústicos Wang et al.(2015) Rentes al.(2015) Nakstad & (1) Señales Kringlebotn Sísmicas (2008) Generadas por Airguns (2) Presión de la Onda Directa Detección acústica Proceedings - 2013 European Intelligence and Security Informatics Conference, EISIC 2013 Communications 5.5 Communications Afotodo OBC (Ocean Bottom Cable) SPIE - The International Society for Optical Engineering					
et al.(2013) Perturbaciones distribuida (DAS) sísmicas. (2) Perturbaciones acústicas. (3) Movimientos sísmicos y acústicos Wang et Fuentes al.(2015) acústicas Nakstad & (1) Señales Kringlebotn Sísmicas (2008 Generadas por Airguns (2) Presión de la Onda Directa et al.(2013) European Intelligence and Security Informatics Conference, EISIC 2013 Communications 5.5 Communications SPIE - The International Society for Optical Engineering	Ducley:1	(1)	Datagaión agústir-	Drogoedings	-
Sísmicas. (2) Perturbaciones acústicas. (3) Movimientos sísmicos y acústicos Wang et Fuentes al.(2015) acústicas Nakstad & (1) Señales Kringlebotn Sísmicas (2008 Generadas por Airguns (2) Presión de la Onda Directa Intelligence and Security Informatics Conference, EISIC 2013 Communications 5.5 Communications Froceedings of SPIE - The International Society for Optical Engineering					О
Perturbaciones acústicas. (3) Movimientos sísmicos y acústicos Wang et Fuentes Interferometría φ-OTDR al.(2015) acústicas Nakstad & (1) Señales Kringlebotn Sísmicas (2) Presión de la Onda Directa Perturbaciones Security Informatics Conference, EISIC 2013 Communications Society for Optical Engineering	et al.(2013)		uistribuida (DAS)		
acústicas. (3) Movimientos sísmicos y acústicos Wang et Fuentes Interferometría φ-OTDR optics Communications Nakstad & (1) Señales Kringlebotn Sísmicas (2008 Generadas por Airguns (2) Presión de la Onda Directa Informatics Conference, EISIC 2013 Communications 5.5 SPIE - The International Society for Optical Engineering		` '		U	
Movimientos sísmicos y acústicos Wang et al.(2015) Rientes acústicas Nakstad & (1) Señales Kringlebotn Sísmicas (2008 Generadas por Airguns (2) Presión de la Onda Directa Movimientos sísmicos (Conference, EISIC 2013 Interferometría φ-OTDR Optics Communications Método OBC (Ocean Bottom Cable) SPIE - The International Society for Optical Engineering					
Sísmicos y acústicos Wang et al.(2015) Nakstad & (1) Señales Kringlebotn Sísmicas (2008 Generadas por Airguns (2) Presión de la Onda Directa Sísmicos y acústicos Interferometría φ-OTDR Optics Communications Método OBC (Ocean Bottom Cable) SPIE - The International Society for Optical Engineering					
Series				,	
Wang et al.(2015) Fuentes acústicas Interferometría φ-OTDR acústicas Senderadas por Airguns (2) Presión de la Onda Directa Interferometría φ-OTDR Communications S.5.5 Communica	1	-		EISIC 2013	
al.(2015) acústicas Nakstad & (1) Señales Kringlebotn Sísmicas (2008 Generadas por Airguns (2) Presión de la Onda Directa Al.(2015) acústicas Método OBC (Ocean Broceedings of SPIE - The International Society for Optical Engineering	***		7 . 6	0	
Nakstad & (1) Señales Kringlebotn Sísmicas (2008 Generadas por Airguns (2) Presión de la Onda Directa Método OBC (Ocean Bottom Cable) SPIE - The International Society for Optical Engineering	_		Interferometría φ-OTDR		5.5
Kringlebotn Sísmicas (2008 Generadas por Airguns (2) Presión de la Onda Directa Bottom Cable) SPIE - The International Society for Optical Engineering					
(2008 Generadas por Airguns (2) Society for Optical Engineering	Nakstad &	(1) Señales			6
Airguns (2) Presión de la Onda Directa Society for Optical Engineering					
Presión de la Optical Onda Directa Engineering	(2008				
Onda Directa Engineering					
	1				
(3)		Onda Directa			
			ī		

	Reflexiones de la Onda (4) Vibraciones y Movimientos			
Fujihashi et al. (2007)	Actividad sísmica	Rejilla de fibra de Bragg (FBG)	International Symposium on Underwater Technology, UT 2007 - International Workshop on Scientific Use of Submarine Cables and Related Technologies 2007	7
Espinosa- Ramos & Vázquez (2012)		A de evolución diferencial (ED)	2012 IEEE Congress on Evolutionary Computation, CEC 2012	6

III. RESULTADOS

Los 24 artículos seleccionados en la sección de metodología pasaron por todos los filtros de selección y calidad, lo que nos confirma que son aptos para la investigación desarrollada en este estudio. A continuación, presentamos información obtenida de los artículos seleccionados de forma clara y ordenada en tablas y gráficos.

Los artículos analizados abordan la detección de diversos fenómenos, incluyendo microsismos, sismos de mediana intensidad, grandes terremotos y tsunamis [1], [6], [15 – 17], así como también la detección en general de vibraciones [18], [19], fuentes acústicas [20] y ondas sísmicas [21]. Para un análisis más detallado, consulte la Tabla II. Como se observa en dicha tabla, el método predominante utilizado para los eventos sísmicos mencionados es el DAS (Distributed Acoustic Sensing), gracias a su capacidad de aprovechar la infraestructura existente de fibras ópticas.

B. ¿Cuál es la descripción del problema específico en cada estudio? (RQ2)

El monitoreo sísmico es fundamental para la prevención de desastres naturales, incluidos eventos como erupciones volcánicas, grandes terremotos y tsunamis, además de proporcionar información clave sobre la dinámica interna de la Tierra [22]. Para maximizar la detección de sismos, se suelen emplear redes de sismómetros tanto en tierra como en el océano, como la reconocida Red Sísmica de California [7]. Sin embargo, la implementación de una red sísmica global enfrenta limitaciones significativas debido a los elevados costos de instalación y mantenimiento, lo que la hace inviable a gran escala [7], [22]. Una alternativa surge del uso de tecnologías espaciales, las cuales, aunque menos precisas, se complementan con sistemas terrestres como el GPS. Este enfoque, no obstante, está limitado a la monitorización de

regiones locales de pocos kilómetros cuadrados [23]. Para abordar estos desafíos con soluciones más económicas y lograr una mayor densidad de red, se propone el uso de "nodos" de calidad moderada, como geófonos independientes o dispositivos cotidianos equipados con acelerómetros MEMS, como los smartphones [7].

C. ¿Cuáles son las técnicas y objetivos usados en los estudios? (RO3)

La Detección Acústica Distribuida (DAS) es una técnica de monitoreo sísmico basada en fibra óptica que se originó en la industria del petróleo y el gas. Su principio consiste en utilizar cables de fibra óptica como sensores, lo que permite aprovechar la red global de telecomunicaciones submarinas en lugar de desplegar una gran cantidad de sismómetros, cuya instalación y mantenimiento implican costos elevados [3], [4], [7], [22 – 24]. Además de DAS, existen otras técnicas relacionadas que utilizan la fibra óptica como sensor. Entre ellas se incluyen:

- Interferometría φ-OTDR y sus variantes, como la Detección Acústica Distribuida de pulso chirriado (CP-φ OTDR), que emplea un interferómetro de Michelson basado en φ-OTDR para medir fuentes acústicas con diferentes intensidades [22].
- Interferometría láser ultraestable, que usa cables ópticos de telecomunicaciones para registrar eventos sísmicos a lo largo de la red [1].
- Interferometría óptica de Fabry-Pérot (FP), aplicada en el diseño de sismómetros ópticos de alta resolución y bajo costo [15].
- Rejillas de fibra de Bragg, que actúan como detectores o reflectores de longitudes de onda específicas [19], [25].

Estas tecnologías buscan aprovechar la infraestructura submarina de fibra óptica para crear una red sísmica global homogénea y de bajo costo. En la Tabla II se presenta un resumen completo de las técnicas discutidas en los artículos revisados. La Tabla III muestra que el 42% de los artículos emplean DAS como técnica principal para la detección sísmica, superando significativamente a métodos como la interferometría φ-OTDR (13%) y las rejillas de fibra de Bragg (13%). Cabe aclarar que el 100% se refiere a la proporción de artículos que mencionan al menos una técnica, y no a la totalidad de artículos analizados.

TABLA III
TÉCNICA DE DETECCIÓN USADA EN CADA ESTUDIO (N=24)

Técnica	Cantidad de estudios
DAS	10
Interferometría φ-OTDR	3
Red de fibra de Bragg	3
Interferometría con láser ultraestable	2
Interferometría FP	1
DAS y redes neuronales	2
Otras técnicas	3

Total	24

D. ¿Cuáles fueron las variables físicas más utilizadas en los estudios? (RQ4)

De un total de 24 estudios analizados (n = 24, equivalente al 100%), la Frecuencia es la variable más reportada, presente en el 60% de los artículos. Le siguen la Longitud del cable (36%), el Período (24%), la Magnitud Momento (24%) y la Longitud de onda (16%). Variables menos representadas incluyen la Velocidad de onda P (Vp) (8%), la Velocidad de onda S (Vs) (8%), la Relación Vp/Vs (8%), el Tiempo (4%) y un grupo clasificado como Otras variables (4%).

E. ¿Cuáles fueron los equipos de medición que se utilizaron en cada estudio? (RQ5)

Las investigaciones revisadas emplearon equipos de bajo costo, alto rendimiento y frecuencias tanto bajas como altas. El objetivo principal fue analizar la perturbación de las frecuencias al emitir luz mediante láser. En este contexto, se destaca el uso de una amplia variedad de equipos que integran láseres convencionales y ultraestables [1], [16], [20], [22]. Asimismo, las rejillas de fibra de Bragg han sido recurrentemente utilizadas [19], [24], [26]. No obstante, la fibra óptica ha desempeñado un papel central como componente clave en todos los equipos analizados [1], [3], [4], [6], [7], [9], [17], [19], [22], [23], [25], [26].

F. ¿Cuál fue la ubicación geográfica de los cables de fibra óptica en cada estudio? (RQ6)

En cuanto a la posición geográfica de los cables de fibra óptica desplegados, los experimentos incluyen cables submarinos ubicados en diversas regiones. En las costas del Pacífico Norte se reportaron 4 proyectos [2], [4], [5], [22], mientras que en el Atlántico Norte se identificó 1 [5], [17]. En el Mar del Norte de Europa se llevaron a cabo 6 experimentos [1], [5], [18], [22], [23], y en la región del Mediterráneo se registraron 2 [3], [16]. Por otra parte, también se han utilizado cables de fibra óptica en disposición horizontal, como se observa en [1], [20], [27], y vertical, con ejemplos reportados en [9], [27]. La Figura 2 muestra los porcentajes de proyectos por región en relación con el total de experimentos que emplearon cables desplegados en el mar, considerando exclusivamente los estudios seleccionados.



Fig. 2 Porcentaje de proyectos por región respecto del total de proyectos ejecutados usando fibra óptica.

G. ¿Cuáles fueron los resultados del uso de cada técnica? (RO7)

En la mayoría de los casos, la detección sísmica mediante fibra óptica se verificó comparando los resultados con los registros de otros sismómetros ubicados tanto en tierra como en el mar [1], [5], [16], [23]. La Figura 2 ilustra el progreso de los proyectos a nivel mundial en el contexto de los estudios seleccionados. Un avance significativo en esta área es la implementación de sistemas de alerta temprana para complementar la detección de sismos. Un ejemplo destacado es el sistema de alerta temprana instalada en el condado de Menyuan, China [9]. Sin embargo, es importante señalar que este cable sensor se encuentra en una instalación continental y no en un entorno submarino.

H. ¿Qué beneficios a futuro tuvo cada técnica aplicada? (RQ8)

Los resultados positivos obtenidos en la detección de sismos mediante fibra óptica abren la posibilidad de crear una red global homogénea para la detección de eventos sísmicos, así como para el monitoreo de zonas de subducción y desplazamientos de grandes mamíferos [1], [5], [7], [16], [23]. Además, esta tecnología podría extenderse para incorporar sistemas de alerta temprana, lo que permitiría la prevención de potenciales terremotos y la salvaguarda de vidas humanas, como se señala en [9], [26]. La Tabla IV presenta los beneficios de cada uno de los proyectos analizados, los cuales se pueden categorizar en tres grupos principales: (1) autores que consideran viable la implementación de una red de telecomunicaciones submarinas como una red mundial homogénea de bajo costo; (2) aquellos que destacan las ventajas de la fibra óptica como sistema de detección sísmica en comparación con otros métodos; y (3) los que utilizan la fibra óptica para el monitoreo volcánico. Se observa que nueve estudios (37.5%) destacan el gran potencial de una red global de fibra óptica como una solución homogénea y de bajo costo para la detección sísmica [1], [2], [4], [5], [7], [16], [17], [22], [25]. Un segundo grupo de estudios, también compuesto por nueve investigaciones (37.5%), enfatiza las ventajas de la fibra óptica frente a otras técnicas de detección sísmica, sin referirse a la creación de una red global homogénea [3], [8], [9], [17], [18], [20], [24], [26 – 28]. En dos estudios (8%) se exploran las aplicaciones de la fibra óptica para el monitoreo volcánico [6], [17]. Los estudios restantes, un total de cuatro (17%), consisten en revisiones sistemáticas o en el uso de técnicas complementarias a la fibra óptica, principalmente relacionadas con el procesamiento y manejo de los datos obtenidos a través de esta tecnología.

 $TABLA\ IV$ Beneficios y Limitaciones de Cada proyecto (n = 24)

	Autor Beneficio de cada técnica		Limitación de cada técnica
	(año)		
	Xiao et al	DAS, que utiliza fibra óptica de	En el caso del tsunami de
L	(2024)	telecomunicaciones como	Guerrero, las limitaciones

	sensor continuo, ofrece datos	de los datos disponibles
	de alta resolución a grandes	impiden observar ondas de
	distancias, lo que la convierte	infragravedad directas
	en una tecnología prometedora	
	para el monitoreo en tiempo real de las olas de tsunamis,	
	frente al sistema DART	
	(tradicional)	
Mata	Identificar los segmentos de	
Flores et	cable más apropiados para fines	
al.	sismológicos, y esto puede	_
(2023)	proporcionar un método no	
	invasivo para monitorear	
	secciones de cable que	
	probablemente sufran daños debido a sobrecarga o fatiga.	
Yu et al.	La implementación de sensores	(1) Para los interferómetros
(2023)	de fibra óptica permite la	ópticos, se debe construir
(2023)	detección de terremotos de alta	un conjunto de observación
	densidad, a largo plazo y en	de alta densidad para
	tiempo real.	ubicar con precisión el
		lugar de la fuente; (2) para
		FBG, se debe desarrollar
		un amplio ancho de banda
		de detección con respuesta
		de baja frecuencia para realizar la detección de
		terremotos submarinos
		naturales de baja
		frecuencia; (3) en el caso
		de los polarímetros
		ópticos, el ruido ambiental
		acumulado debería
		suprimirse para detectar
		terremotos de pequeña
		magnitud; (4) para DAS, se debe considerar la
		tecnología de
		amplificación del repetidor
		de los cables submarinos y
		los Métodos de supresión
		de efectos no lineales para
		ampliar su distancia de
		detección.
Landrø et	El análisis DAS muestra una	
al.	rica expresión de características	
(2022)	naturales, de 0,01 a 20 Hz, y captura no sólo el alcance y la	
	dirección de los hipocentros de	-
	los terremotos, sino también el	
	efecto de ondas más profundas	
	que pasan a través de regiones	
	de mayor velocidad y la	
	interacción con los niveles	
NT 1 .	locales.	F11/ 1/ 1 1 : 1/
Nakano et al.	Los resultados demuestran que	El límite de detección era de magnitud inferior a 1
(2024)	vale la pena desarrollar equipos DAS que no interfieran con las	de magnitud interior a 1
(2024)	señales de telecomunicaciones	
	y permitan un seguimiento	
	volcánico regular en tiempo	
	real.	
Ugalde et	El experimento reveló señales	
al.	de ondas T hidroacústicas, que	
(2022)	son claramente visibles a	_
	profundidades bastante por	
	debajo del SOFAR. Las ondas	
	T son valiosas para detectar vulcanismo y actividad sísmica	

					11 , 1
Ip et al. (2022)	en regiones oceánicas. El uso de DAS de pulso chirriado, con su resolución de medición uniforme y su excelente rendimiento de baja frecuencia, ha llevado a la detección de ondas sísmicas de Scholte, que antes era difícil de estudiar.	-			un modelo entrenado en una situación requerirá un reentrenamiento para aplicarlo en una situación diferente. Sin embargo, una vez entrenados, los modelos son computacionalmente eficientes.
Marra et al. (2022)	Al mejorar la densidad de monitoreo mediante el uso de cables submarinos existentes, se podría mejorar la señal de tsunami cerca de la costa y se podrían hacer estimaciones más	La combinación de rutas de retorno con pérdidas (HLLB) y la acumulación de ruido de emisión estimulada amplificada (ASE) generada en cada	Bernard P et al. (2019)	Estos métodos son usados debido a su alta resolución, calibración calificada, capacidades de largo alcance y baja necesidad de energía. Este método podría aplicarse	- Aún no se ha probado el
	confiables de las áreas con riesgo inminente de tsunami.	repetidor a lo largo del cable puede generar una señal de bucle invertido con una relación señal- ruido (SNR) marginal. En nuestra configuración	(2019) Marra et al.	para convertir la red de telecomunicaciones de fibra óptica en un sistema homogéneo de sensores de detección de terremotos Conseguir usar las redes de	método en las redes de telecomunicaciones a nivel mundial Aún no se ha probado el
Zhang et	Si bien es difícil cuantificar con	actual, esto puede limitar el rango de repetidores desde los cuales se puede obtener una señal de loop-back utilizable.	(2018)	telecomunicaciones como sensores para detectar terremotos, se reducirían los costos y se tendría un alcance global para la detección de eventos sísmicos.	método en las redes de telecomunicaciones a nivel mundial
al. (2022)	precisión la diferencia entre ellos, estimamos que el catálogo del DAS es entre 0,5 y 1,0 unidades de magnitud más completo. Esto lo corrobora el hecho de que de los 82 eventos	-	Fernández- Ruiz et al. (2019)	Haber demostrado la viabilidad de utilizar la red de fibra óptica de telecomunicaciones ya implementada para el seguimiento de la actividad sísmica en todo el mundo	Aún no se ha probado el método en las redes de telecomunicaciones a nivel mundial
	detectados por el conjunto DAS, solo uno estaba en el catálogo de superficie. Soporta altas temperaturas así como su alta sensibilidad a la detección de los sismos.		Jousset et al. (2018)	En este estudio se encontró nuevas características estructurales y dinámicas de zonas de fallas normales dentro del rift oblicuo de la dorsal medio oceánica de Reykjanes.	Aún no se ha probado el método en las redes de telecomunicaciones a nivel mundial
Bao et al. (2022) Lindsey & Martin	Mapa de predicción sísmica en base a los datos y la red Ade Mini. Mejor estudio del mapa sísmico debido a mayor data del evento	Baja disponibilidad del sistema así como la data		Se empleó el método DAS. Se sugiere usar las redes de líneas de fibra óptica de todo el mundo para detectar la tensión dinámica de los sismos	
(2021) Wamriew	acontecido. Los resultados de este estudio	generada por DAS ya que requiere entrenamiento y capacidad de almacenamiento de los datos para ser usados de forma eficiente. Debido a sus grandes	Clivati et al. (2019)	Conseguir usar las redes de telecomunicaciones como sensores para detectar terremotos, se reducirían los costos y se tendría un alcance global para la detección de eventos sísmicos.	Aún no se ha probado el método en las redes de telecomunicaciones a nivel mundial
et al. (2021)	muestran que los modelos de redes neuronales profundas s on capaces de aprender la re lación entre los datos de for	arquitecturas, los modelos de aprendizaje profundo requieren grandes volúmenes de datos para su	Jiang et al. (2013)	Sensor con respuesta rápida y bajo costo. Potencial para convertirse en sensores prácticos de buena rentabilidad	-
	mas de onda microsísmicas y la ubicación de los eventos, así como el modelo de velo cidad con un alto grado de precisión. Además, las tareas de actualización del modelo de velocidad y localización d e eventos se realizan simultá	entrenamiento. Si bien la disponibilidad de datos no es un desafío en el monitoreo microsísmico/sísmico pasivo utilizando DAS, los grandes volúmenes de datos hacen que el	Duckworth et al. (2013)	Los beneficios del método DAS incluyen su capacidad para proporcionar una vigilancia de fronteras extremadamente rentable, siendo un complemento sólido para otras tecnologías de vigilancia de fronteras	-
	neamente en una única red.	entrenamiento de los modelos sea extremadamente costoso desde el punto de vista computacional. Además,	Wang et al. (2015)	Este método permite obtener la información de la fase, amplitud, respuesta de frecuencia directamente al mismo tiempo, a diferencia de	-

		I
	las técnicas anteriores de	
	interferometría óptica o de	
	retrodispersión óptica	
Nakstad &	(1) Alta Fiabilidad (2) Gran	
Kringlebot	Capacidad de Multiplexación	
n	(3) Largo Alcance y Amplio	_
(2008)	Ancho de Banda (4) Monitoreo	
	4D/Time-Lapse (5) Menor	
	Costo y Mayor Respetabilidad	
	(6) Mejora en las Tasas de	
	Recuperación de Petróleo y	
	Gas.	
Fujihashi	(1) Detección Temprana (2)	(1) Costo (2) Complejidad
et al.	Monitorización del Lecho	Técnica (3) Resistencia
(2007)	Marino (3) Uso de Tecnología	Ambiental (4)
	Óptica (4) Desarrollo de	Dependencia de la
	Sistemas Complementarios (5)	Infraestructura (5)
	Preparación para Operación a	Requiere Infraestructura
	Gran Escala.	Adicional
Espinosa-	El estudio indica que el	
Ramos &	algoritmo de evolución	
Vázquez	diferencial (ED) propuesto es	
(2012)	competitivo y eficiente para la	_
	ubicación de estaciones	
	sísmicas. Además, se destaca	
	que la cantidad de datos	
	utilizados no es un factor	
	determinante para obtener	
	buenos resultados, y el método	
	puede ser útil incluso con poca	
	información sísmica disponible.	

I. $\cite{Qué}$ limitaciones presenta cada técnica aplicada? (RQ9)

Entre las limitaciones de las técnicas de detección sísmica basadas en fibra óptica, se destaca que muchas de ellas han sido aplicadas únicamente a secciones de cables dentro de la red global de telecomunicaciones, en lugar de a la red en su totalidad [16]. Además, la disponibilidad del sistema y la gestión de los datos generados representan un desafío, ya que se requiere capacitación especializada y capacidad de almacenamiento para procesar la información de manera eficiente [27]. Por último, los modelos de aprendizaje profundo, debido a su complejidad estructural, requieren grandes volúmenes de datos para su entrenamiento, lo que implica altos costos. No obstante, una vez entrenados, estos modelos resultan ser computacionalmente eficientes [8]. La Tabla IV presenta las limitaciones de cada uno de los proyectos analizados.

IV. DISCUSIONES

De acuerdo con los beneficios a futuro descritos en la sección de resultados, notamos que la mayor cantidad de los estudios seleccionados priorizan como principal beneficio a futuro de sus investigaciones utilizar la red de fibra óptica mundial de telecomunicaciones como una red de sismómetros global. Podemos decir que este hecho no es sorprendente, pues este beneficio a futuro coincide con lo mencionado en ref. [29], cuyo estudio no forma parte de esta revisión sistemática. Además, podemos observar que DAS es la principal técnica para la detección sísmica preferida por los investigadores, muy por encima de otras técnicas como son Interferometría φ-

OTDR o Red de fibra de Bragg. Una posible explicación para este resultado, el cual contrasta con los datos mostrados en ref. [2] (que muestra la misma cantidad de estudios que usan DAS e Interferometría), es que priorizamos en nuestra búsqueda original en la base de datos Scopus la técnica DAS. Adicionalmente, nos muestra que la región del Mar del norte europeo se posiciona en el primer lugar en número de proyectos de uso de cable de fibra óptica como detector sísmico. En su contraste, dentro de esta revisión no fue posible encontrar ningún proyecto en la región oceánica del hemisferio sur. A pesar de este dato, si existen investigaciones en esa región del mar. En la ref. [30] se muestra el uso de detección sísmica por fibra óptica en un cable que une Los Ángeles y Valparaíso. Por tanto, las futuras investigaciones podrían centrarse en esta región del hemisferio, ya que países como Chile, Perú, Nueva Zelanda y la Melanesia están dentro del cinturón de fuego del pacífico y al mismo tiempo tienen cables de telecomunicaciones submarinas que son una potencial red homogénea de detección sísmica, y por consiguiente se podrían salvar innumerables vidas ante un posible terremoto de gran intensidad o un tsunami que se genere de ello. El costo de ubicar un cable de fibra óptica tiene un costo alto, por lo cual es dificulta el desarrollo de este tipo de proyectos sin embargo una asociación entre gobiernos y empresa privada produce resultados sostenibles [30]. Con respecto al uso de las tecnologías emergentes en la ref. [9] se hace uso de tecnología de redes neuronales, así como IA para el procesamiento de datos con prometedores resultados. El esfuerzo de los gobiernos públicos y la asociación publico privada [9] [30] proporcionan una salida para el financiamiento de los proyectos de fibra óptica.

Finalmente, la variable física más recurrente usada en los artículos es la frecuencia y en segundo lugar tenemos a la longitud del cable. Este hecho podría resultar contradictorio, ya que el estudio trata sobre considerar al cable de fibra óptica como elemento sensor.

V. CONCLUSIÓN

El objetivo principal de esta revisión sistemática brinda una comparación exhaustiva y completa de la literatura disponible sobre las técnicas de detección de sismos mediante infraestructura de cable submarino para detectar actividad sísmica en los océanos. Las técnicas usadas en los estudios seleccionados fueron principalmente: Detección Acústica Distribuida (DAS), Interferometría Óptica y la Red de Fibra de Bragg. Los resultados destacan la técnica DAS como la preferida por los investigadores dentro de los estudios seleccionados. Una explicación a este hecho se debe a que DAS es la primera de las técnicas de detección que usan a la fibra óptica como elemento sensor. El uso de DAS sirve como monitoreo sísmico y genera información de alta densidad. A partir de este hecho, se pude utilizar la enorme red de telecomunicaciones como una red sísmica homogénea mundial. Un limitante en este estudio es la escasez de proyectos de detección sísmica por cable submarino en el

hemisferio sur, por tanto, se sugiere a las autoridades y a las empresas privadas a la inversión en proyectos de investigación de este tipo, así poder prevenir futuros desastres naturales. El siguiente paso, sería desarrollar un sistema de alerta temprana que use los datos obtenidos por las distintas técnicas de detección. Como una alternativa de menor costo en comparación con las técnicas analizadas, investigaciones recientes han explorado el uso de señales satelitales para la detección temprana de sismos, basándose en la correlación entre variables físicas como la temperatura superficial del mar. Como resultados preliminares, se ha encontrado la posibilidad de detección temprana con valores significativamente mayores que los tradicionales [31]. Estos hallazgos abren nuevas posibilidades para el desarrollo de metodologías más precisas y accesibles, lo que plantea interesantes desafíos para futuras investigaciones en la detección temprana y monitoreo de eventos sísmicos. Finalmente, se convoca a estudiantes de Ingeniería Civil, Geología, Geofísica y disciplinas afines a incorporarse en futuras líneas de investigación sobre fenómenos sísmicos. Su participación, basada en un enfoque interdisciplinario, enriquecerá el análisis de riesgos y la propuesta de métodos innovadores. Apreciamos el entusiasmo y la dedicación de quienes deseen contribuir al avance del conocimiento en nuestras comunidades.

AGRADECIMIENTO/RECONOCIMIENTO

Los autores expresamos nuestros sinceros agradecimientos a la Universidad Tecnológica del Perú (UTP) por el respaldo institucional brindado durante el desarrollo de este trabajo. De igual manera, extendemos nuestro reconocimiento a los revisores por sus valiosas sugerencias y observaciones, las cuales contribuyen significativamente a mejorar la calidad y el rigor académico de esta RSL.

REFERENCES

- [1] G. Marra, C. Clivati, R. Luckett, A. Tampellini, J. Kronj¨ager, L. Wright, A. Mura, F. Levi, S. Robinson, A. Xuereb, et al. Ultrastable laser interferometry for earthquake detection with terrestrial and submarine cables. Science, 361(6401):486 490, 2018. American Association for the Advancement of Science.
- [2] J. Yu, P. Xu, Z. Yu, K. Wen, J. Yang, Y. Wang, Y. Qin. Principles and Applications of Seismic Monitoring Based on Submarine Optical Cable. Sensors, 23(12):5600, 2023. MDPI.
- [3] D. Mata Flores, E. D. Mercerat, J. P. Ampuero, D. Rivet, A. Sladen. Identification of two vibration regimes of underwater fibre optic cables by distributed acoustic sensing. *Geophysical Journal International*, 234(2):1389–1400, 2023. Oxford University Press.
- [4] H. Xiao, Z. J. Spica, J. Li, Z. Zhan. Detection of earthquake infragravity and tsunami waves with underwater distributed acoustic sensing. *Geo*physical Research Letters, 51(2):e2023GL106767, 2024. Wiley Online Library.
- [5] G. Marra, D. M. Fairweather, V. Kamalov, P. Gaynor, M. Cantono, S. Mulholland, B. Baptie, J. C. Castellanos, G. Vagenas, J.-O. Gaudron, et al. Optical interferometry–based array of seafloor environmental sensors using a transoceanic submarine cable. *Science*, 376(6595):874–879, 2022. American Association for the Advancement of Science.
- [6] M. Nakano, M. Ichihara, D. Suetsugu, T. Ohminato, S. Ono, R. Vaiomounga, T. Kula, M. Shinohara. Monitoring volcanic activity with distributed acoustic sensing using the Tongan seafloor telecommunications cable. *Earth, Planets and Space*, 76(1):25, 2024. Springer.

- [7] Z. Zhan. Distributed acoustic sensing turns fiber-optic cables into sensitive seismic antennas. Seismological Research Letters, 91(1):1– 15, 2020. Seismological Society of America.
- [8] D. Wamriew, R. Pevzner, E. Maltsev, D. Pissarenko. Deep neural networks for detection and location of microseismic events and velocity model inversion from microseismic data acquired by distributed acoustic sensing array. *Sensors*, 21(19):6627, 2021. MDPI.
- [9] F. Bao, X. Zeng, R. Lin, B. Chi, H. Lu", C. Sha. Detect- ing aftershocks of the M_S6.9 Menyuan earthquake and mapping blind faults by a distributed acoustic sensing array with an exist- ing fiber-optic cable. Chinese Science Bulletin, 67(27):3340–3347, 2022. http://www.sciengine.com/publisher/ScienceChinaPress/journal/ChineseScienceBulletin/67/27/10.1360/TB-2022-0155 DOI: 10.1360/TB- 2022-0155.
- [10] M. R. Fernández-Ruiz, L. Costa, H. F. Martins. Distributed acoustic sensing using chirped-pulse phase-sensitive OTDR technology. *Sensors*, 19(20):4368, 2019. MDPI
- [11] B. Kitchenham. Procedures for performing systematic reviews. *Keele, UK, Keele University*, 33(2004):1–26, 2004. Citeseer.
- [12] A. Liberati, D. G. Altman, J. Tetzlaff, C. Mulrow, P. C. Gøtzsche, J. P. A. Ioannidis, M. Clarke, P. J. Devereaux, J. Kleijnen, D. Moher. The PRISMA statement for reporting systematic reviews and meta- analyses of studies that evaluate health care interventions: explanation and elaboration. *Annals of Internal Medicine*, 151(4):W-65, 2009. American College of Physicians.
- [13] J. P. Higgins. Cochrane handbook for systematic reviews of interventions. Cochrane Collaboration and John Wiley & Sons Ltd, 2008.
- [14] F. J. García-Peñalvo. Developing robust state-of-the-art reports: Systematic Literature Reviews. *Education in the Knowledge Society (EKS)*, 2022. Ediciones Universidad de Salamanca.H. Simpson, *Dumb Robots*, 3rd ed., Springfield: UOS Press, 2004, pp.6-9.
- [15] P. Bernard, R. Feron, G. Plantier, A. Nercessian, J. Couteau, A. Sourice, M. Feuilloy, M. Cattoen, H.-C. Seat, P. Chawah, et al. Onland and off- shore extrinsic Fabry–Pérot optical seismometer at the end of a long fiber. Seismological Research Letters, 90(6):2205–2216, 2019. Seismological Society of America.
- [16] [EFTF/IFC 2019 Front matter]. In 2019 Joint Conference of the IEEE International Frequency Control Symposium and European Frequency and Time Forum (EFTF/IFC), pages 4–57, 2019. DOI: 10.1109/FCS.2019.8856107.
- [17] A. Ugalde, C. Becerril, A. Villaseñor, C. R. Ranero, M. R. Fernández-Ruiz, S. Martin-Lopez, M. González-Herráez, H. F. Martins. Noise levels and signals observed on submarine fibers in the Canary Islands using DAS. Seismological Society of America, 93(1):351–363, 2022.
- [18] M. Landrø, L. Bouffaut, H. J. Kriesell, J. R. Potter, R. A. Rørstadbotnen, K. Taweesintananon, S. E. Johansen, J. K. Brenne, A. Haukanes, O. Schjelderup, et al. Sensing whales, storms, ships and earthquakes using an Arctic fibre optic cable. *Scientific Reports*, 12(1):19226, 2022. Nature Publishing Group UK London.
- [19] Q. Jiang, M. Yu, L. Sun. Design and study of a vibrating string accelerometer based on fiber Bragg grating. In Sixth International Symposium on Precision Mechanical Measurements, volume 8916, pages 698–703, 2013. SPIE.
- [20] C. Wang, C. Wang, Y. Shang, X. Liu, G. Peng. Distributed acoustic mapping based on interferometry of phase optical time-domain reflectometry. *Optics Communications*, 346:172–177, 2015. Elsevier.
- [21] J. B. Ajo-Franklin, S. Dou, N. J. Lindsey, I. Monga, C. Tracy, M. Robertson, V. Rodriguez Tribaldos, C. Ulrich, B. Freifeld, T. Daley, et al. Distributed acoustic sensing using dark fiber for near-surface characterization and broadband seismic event detection. *Scientific Reports*, 9(1):1328, 2019. Nature Publishing Group UK London.
- [22] M. R. Ferna´ndez-Ruiz, E. L. Williams, R. Magalhaes, R. Vanthillo, L. Costa, Z. Zhan, S. Martin-Lopez, M. Gonzalez-Herraez, H. F. Martins. Teleseisms monitoring using chirped-pulse φOTDR. In Seventh European Workshop on Optical Fibre Sensors, volume 11199, pages 315–318, 2019. SPIE.
- [23] P. Jousset, T. Reinsch, T. Ryberg, H. Blanck, A. Clarke, R. Aghayev, G. P. Hersir, J. Henninges, M. Weber, C. M. Krawczyk. Dynamic strain determination using fibre-optic cables allows imaging of

- seismological and structural features. *Nature Communications*, 9(1):2509, 2018. Nature Publishing Group UK London.
- [24] G. Duckworth, A. Owen, J. Worsley, H. Stephenson. Optasense® distributed acoustic and seismic sensing performance for multi-threat, multi-environment border monitoring. In 2013 European Intelligence and Security Informatics Conference, pages 273–276, 2013. IEEE.
- [25] K. Fujihashi, T. Aoki, M. Okutsu, K. Arai, T. Komori, H. Fujita, Y. Kurosawa, Y. Fujinawa, K. Sasaki. Development of seafloor seismic and tsunami observation system. In 2007 Symposium on Underwater Technology and Workshop on Scientific Use of Submarine Cables and Related Technologies, pages 349–355, 2007. IEEE.
- [26] H. Nakstad, J. T. Kringlebotn. Realisation of a full-scale fibre optic ocean bottom seismic system. In 19th International Conference on Optical Fibre Sensors, volume 7004, pages 466–469, 2008. SPIE.
- [27] N. J. Lindsey, E. R. Martin. Fiber-optic seismology. Annual Review of Earth and Planetary Sciences, 49(1):309–336, 2021. Annual Reviews.
- [28] J. I. Espinosa-Ramos. A new objective function to build seismic networks using differential evolution. In 2012 IEEE Congress on Evolutionary Computation, pages 1–7, 2012. IEEE.
- [29] M.-A. Gutscher, L. Quetel, S. Murphy, G. Riccobene, J.-Y. Royer, G. Barreca, S. Aurnia, F. Klingelhoefer, G. Cappelli, M. Urlaub, et al. Detecting strain with a fiber optic cable on the seafloor offshore Mount Etna, Southern Italy. *Earth and Planetary Science Letters*, 616:118230, 2023. Elsevier.
- [30] Z. Zhan, M. Cantono, V. Kamalov, A. Mecozzi, R. Mu"ller, S. Yin, J. C. Castellanos. Optical polarization—based seismic and water wave sensing on transoceanic cables. *Science*, 371(6532):931–936, 2021. American Association for the Advancement of Science.
- [31] L. Zhang, M. Jiang, and F. Jing. Sea temperature variation associated with the 2021 Haiti M w 7.2 earthquake and possible mechanism. *Geomatics, Natural Hazards and Risk*, 13(1):2840–2863, 2022. Taylor & Francis.